

## نهان کاوی تصویر با استفاده از پنجره‌گذاری ضرایب فرکانس بالای تبدیل موجک

\* سید سبحان موسوی<sup>۱</sup>، عبدالرسول میرقداری<sup>۲</sup>

- کارشناس ارشد، - دانشیار، دانشگاه جامع امام حسین (ع)

(دریافت: ۹۵/۰۶/۲۰، پذیرش: ۹۴/۰۶/۲۰)

### چکیده

نهان کاوی یکی از موضوعات چالش برانگیز و جذاب برای پژوهشگران در زمینه توسعه روش‌های نهان‌نگاری است. نهان کاوی روشی است برای تشخیص اطلاعات پنهان شده در نهانه که توسط الگوریتم‌های نهان‌نگاری ایجاد شده است. انواع مختلفی از روش‌های استخراج ویژگی برای نهان کاوی ارائه شده است که هر کدام از آن‌ها دارای مزایای مربوط به خود می‌باشند. ساخت مجموعه‌ای از ویژگی‌های مختلف می‌تواند عملکرد نهان کاو را بهبود بخشد. بیشتر الگوریتم‌های نهان کاوی مدرن یک دسته‌بندی کننده را بر اساس بردارهای ویژگی، آموزش می‌دهند. یکی از محبوب‌ترین و دقیق‌ترین دسته‌بندی کننده‌های ماشین بردار پشتیبان است. در این مقاله بر اساس تجربیات و مطالعه روش‌های مختلف نهان کاوی، یک روش نهان کاوی کارآمد با استفاده از پنجره‌گذاری روی ضرایب فرکانس بالای تبدیل موجک پیشنهاد شده است. در روش پیشنهادی، تصمیم نهایی روی کل تصویر به کمک روش رأی گیری اکثربت با استفاده از استخراج ویژگی‌های مناسب هر پنجره اعلام شده است. نتایج عملی و شبیه‌سازی نشان می‌دهد که روش پیشنهادی برای کشف وجود پیام در تصاویر به ویژه در نرخ‌های جاسازی پایین در مقایسه با روش‌های نهان کاوی موجود دقیق‌تر و حدود ۹۹ درصد دارد.

**کلیدواژه‌ها:** تبدیل موجک، پنجره‌گذاری، پوشانه، دسته‌بندی کننده، نهان کاوی، نهانه

## Image Steganalysis using High Frequency Coefficients of Wavelet Windowing

S. S. Mousavi, A. Mirghadri\*

Imam Hossein University

(Received: 11/09/2015; Accepted: 08/09/2016)

### Abstract

Steganalysis is one of the challenging and attractive subjects for the scientists interested in the development of steganography methods. Steganalysis is the procedure to detect the hidden information from the stego created by known steganography algorithms. Different kinds of extraction methods have been proposed for steganalysis, each have their own advantages when attacking different kinds of steganography methods. Making a combination of different feature sets will improve the performance of the steganalysis system. Most modern steganalysis algorithms train a supervised classifier on the feature vectors. One of the most popular and most accurate classifier is support vector machine (svm). In this paper, based on experiences and study different ways, an efficient steganalysis method using windowing on high-frequency coefficients of wavelet transform is proposed. In the proposed method, the final decision on the entire images is announced by majority voting technique using extracted convenient features of each window. Experimental and simulation results show that the proposed method for the detection message embedded in images, especially in low rates compared to existing steganalysis methods has more carefully hidden by about 99 percent.

**Keywords:** Wavelet Transform, Windowing, Cover, Classifier, Steganalysis, Stego Image

\* Corresponding Author E-mail: amrghdri@ihu.ac.ir

Advanced Defence Sci. & Tech. 2017, 7, 113-122.

را تخمین و آماره‌های مرتبه بالای تابع چگالی احتمال را استخراج کردند. همچنین دسته‌بندی کننده FLD را برای نهان‌کاوی مورد استفاده قرار دادند. لو و همکارانش [۴]، از تصویر تا ۳ سطح تبدیل بسته موجک<sup>۳</sup> گرفتند و ممان‌های هیستوگرام مستخرج از ضرایب تبدیل را جهت نهان‌کاوی تصاویر Jpeg به کار بردند.

يانگ و همکارانش [۵]، يك تبدیل بسته موجک دوسيطي را روی تصاویر Jpeg انجام دادند، سپس ماتريس انتقال تجربی را برای بهدست آوردن همبستگی زير باندها استفاده کردند. آن‌ها طبقه‌بندی کننده خطی فيشر را برای دسته‌بندی نهانه و پوشانه، مورد استفاده قرار دادند. ليو و همکارانش [۶]، با ترکيب انرژي گراديان، آنتروپي، ضرایب موجک و آماره‌های مرتبه بالای خطای پيش‌گوی تصوير، روشی برای نهان‌کاوی عام ارائه دادند. سان و همکارانش [۷]، ممان‌های تابع مشخصه زيرباندهای تبدیل موجک را برای نهان‌کاوی تصوير مورد استفاده قرار دادند. چن و همکارانش [۸]، مجموعه‌ای از ويژگی‌های مارکوف را برای محاسبه همبستگی درون قالبی<sup>۴</sup> و ميان قالبی<sup>۵</sup> ضرایب DCT تصاویر Jpeg استفاده کردند. کودوسکی و همکارانش [۹]، يك مجموعه ويژگی ترکيبی را با استفاده از مفهوم درجه‌بندی<sup>۶</sup> دكارتی آزمایش و استفاده کردند. پونی و همکارانش [۱۰]، مدل‌های مارکوف مرتبه بالا را برای بهدست آوردن اختلاف بين پيكسل‌های همسایه در حوزه مكان استفاده کردند. چو و همکارانش [۱۱]، تحليل قالبی را جهت نهان‌کاوی عام ارائه دادند و ترکيبی از ويژگی‌های DCT و مارکوف را مورد استفاده قرار دادند. عمراني و بيات [۱۲] تصوير را به قالب‌های کوچک‌تر تقسيم کرده و از هر قالب تا ۳ سطح تبدیل بسته‌ای موجک گرفتند. آن‌ها ترکيبی از ويژگی‌های DCT و مارکوف ضرایب موجک هر قالب را جهت نهان‌کاوی مورد استفاده قرار دادند. موسوی و همکارانش [۱۳]، تصوير را به قالب‌های  $64 \times 64$  تقسيم کرده و از هر قالب تا ۳ سطح تبدیل موجک گرفتند. ويژگی‌های آماری هر قالب را استخراج و برای نهان‌کاوی تصاویر Jpeg مورد استفاده قرار دادند. در ادامه مقاله و در بخش دوم، مفاهيم پايه مورد نياز بيان شده است. در بخش سوم روش پيشنهادی و مراحل طراحی آن شرح داده شده است. در بخش چهارم روش پيشنهادی شبیه‌سازی شده و نتایج با سایر روش‌ها مقایسه شده است. در بخش پنجم نتیجه‌گیری بيان شده و درنهایت مراجع در بخش آخر آمده است.

## ۱. مقدمه

هنر نهان‌نگاري تصوير، جاسازی اطلاعات در يك تصوير ميزبان (پوشانه) است به طوري که منجر به تخریب آشکار تصوير ميزبان نشود. بنابراین در نهان‌نگاري، حد كيفيت باید رعایت شود. مهم ترین كاربرد نهان‌نگاري در زمينه پنهان‌سازی اطلاعات با ارزش به منظور حفاظت از اطلاعات طبقه‌بندی با تبادل مخفیانه پیام از طریق يك شبکه ارتباط عمومی است. در شبکه‌های ارتباطی، تصاویر ثابت زيادي جابه‌جا می‌شوند و از آنجايی که داراي ظرفیت بالاي برای نهان‌نگاري هستند، ناگزير منبع خوبی برای ميزبانی پیام است. در مقابل، هدف اصلی نهان‌کاوی تشخيص نهانه از پوشانه است. از ديگر اهداف آن می‌توان به تخریب پیام، استخراج پیام، تغيير پیام و یافتن الگوريتم‌های نهان‌نگاري اشاره کرد.

در چند سال اخير تحقیق در زمينه نهان‌کاوی تصاویر، جهش بزرگی داشته است. بسياری از روش‌های نهان‌نگاري، امروزه توسيط الگوريتم‌های نهان‌کاوی کور قابل‌شناسايی هستند. موفقیت اين نهان‌کاوها را می‌توان به خاطر استفاده از آماره مرتبه بالا و سازوکار خودتنظيمی<sup>۱</sup> دانست که آماره‌های تصوير اصلی را از روی تصوير نهانه موجود، تخمين می‌زنند.

نهان‌کاوی از سه ديدگاه اهمیت پيدا می‌کند. در ديدگاه اول، شخص به عنوان يك نهان‌نگار قصد دارد اطلاعاتی را به صورت مخفیانه انتقال دهد که باید امنیت روش کار او در مقابل روش‌های مختلف نهان‌کاوی بررسی شود. پس با استفاده از روش‌های نهان‌کاوی موجود، باید روش نهان‌نگاري موردنظر را محک زد. در ديدگاه دوم يك شخص يا يك نهاد می‌خواهد امنیت اطلاعات خصوصی خود را حفظ نماید. در ديدگاه سوم فرد به عنوان يك مهاجم می‌تواند اطلاعاتی که از طریق يك تصوير نهان‌نگاري شده در حال انتقال است را استخراج کند.

به طور کلي در يك دسته‌بندی، نهان‌کاوی را می‌توان به دو بخش تقسيم کرد؛ نهان‌کاوی خاص که با اطلاع از الگوريتم نهان‌نگاري، جاسازی داده در تصوير را شناسايی می‌کند و نهان‌کاوی کور که بدون اطلاع از الگوريتم نهان‌نگاري، جاسازی داده را تشخيص می‌دهد. اولين حملات به نهان‌نگاري، حمله به نهان‌نگاري کم‌ارزش ترین بيت است. وستفلد و فيترمن [۱۱]، آزمون مربع خي را جهت حمله به نهان‌نگاري کم‌ارزش ترین بيت ارائه کرددند و نخستین تحليل کمي بر روی نهان‌نگاري بر اساس کم‌ارزش ترین بيت توسط فردریچ و همکارانش [۲] صورت گرفت. اين تحليل با عنوان تحليل RS<sup>۲</sup> شناخته می‌شود. هلوياك و همکارانش [۳]، بعد از تبدیل موجک گرفتن از تصوير، سينال

<sup>3</sup> Wavelet Packet Transform

<sup>4</sup> Inter-Block

<sup>5</sup> Intra-Block

<sup>6</sup> Calibration

<sup>1</sup> Self-Calibration

<sup>2</sup> Regular-Singular

(x) p انتخاب شده باشند. تخمین گشتاور مرتبه  $n$ ام برای نمونه‌های اینتابع چگالی احتمال عبارت است از:

$$\hat{m}_n = \frac{1}{N} \sum_{i=1}^N x_i^n, \quad n \geq 1 \quad (1)$$

معمولًا ضرایب موجک در تصاویر حاوی پیام و فاقد پیام خاصیت تقارن حول مبدأ صفر را دارا می‌باشند، بنابراین گشتاورهای مرتبه فرد معمولًا برابر با صفر می‌شود. برای جلوگیری از چنین رخدادی گشتاور مطلق مرتبه  $n$ ام یکتابع چگالی احتمال به صورت زیر تعریف می‌شود [۱۴]:

$$m_n^A = \frac{1}{N} \sum_{i=1}^N |x_i|^n, \quad n \geq 1 \quad (2)$$

رابطه (۲) تخمینی ناریب از گشتاور مطلق  $n$ ام تابع چگالی احتمال به شکل زیر است:

$$m_n^A = E|X|^n = \int_{-\infty}^{\infty} p(x)|x|^n dx \quad (3)$$

تابع مشخصه یکتابع چگالی احتمال در واقع تبدیل فوریه تابع چگالی احتمال است و به صورت زیر تعریف می‌شود:

$$\Phi(t) = \int_{-\infty}^{\infty} p(x)e^{jtx} dx \quad (4)$$

برای محاسبه تابع چگالی احتمال از روی تابع مشخصه <sup>۳</sup> دارید:

$$p(x) = \frac{1}{2\pi} \int_{-\infty}^{\infty} \Phi(t)e^{-jtx} dt \quad (5)$$

گشتاور مرتبه  $n$ ام تابع چگالی احتمال عبارت است از مشتق  $n$ ام تابع مشخصه تابع چگالی احتمال حول نقطه  $t=0$  یعنی:

$$\hat{m}_n^A \approx m_n = j^{-n} \frac{d^n}{dt^n} \Phi(t)_{t=0} \quad (6)$$

### ۳-۲. گشتاور تابع مشخصه

به صورتی مشابه، گشتاور مرتبه  $n$ ام یکتابع مشخصه به صورت زیر تعریف می‌شود:

$$M_n = \int_{-\infty}^{\infty} \Phi(t)t^n dt \quad (7)$$

و نیز گشتاور مطلق مرتبه  $n$ ام تابع مشخصه عبارت خواهد بود از:

$$M_n^A = \int_{-\infty}^{\infty} |\Phi(t)| |t^n| dt \quad (8)$$

گشتاور مرتبه  $n$ ام تابع مشخصه برابر است با مشتق مرتبه  $n$ ام تابع چگالی احتمال  $(x)p$  در نقطه  $x=0$ ، یعنی:

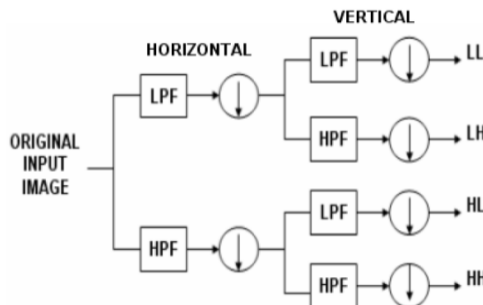
$$M_n = j^n 2\pi \frac{d^n}{dx^n} p(x)_{x=0} \quad (9)$$

برای به دست آوردن تابع مشخصه تابع چگالی احتمال بر حسب نمونه‌های دیده شده ابتدا تابع چگالی احتمال به صورت

## ۲. مفاهیم پایه

### ۲-۱. تبدیل موجک

تبدیل موجک یک تبدیل چند سطحی است که علاوه بر اطلاعات فرکانسی، اطلاعات مکانی تصویر را نیز با خود به همراه دارد. شکل (۱) روش کلی تبدیل موجک گسسته<sup>۱</sup> دو بعدی (تصویر) را نشان می‌دهد.



شکل ۱. روند اعمال یک تبدیل موجک گسسته دو بعدی بر روی یک تصویر

کلیت کار در این تبدیل به این صورت است که ابتدا در راستای افقی یک فیلتر پایین‌گذر یا بالاگذر روی تصویر اعمال شده و سپس زیرنمونه‌برداری<sup>۲</sup> روی تصویر صورت می‌گیرد. خروجی حاصل از این مرحله در راستای عمودی از یک فیلتر پایین‌گذر یا بالاگذر عبور می‌کند و دوباره زیر نمونه‌برداری صورت می‌گیرد. بسته به این که فیلتر مورد استفاده در راستای افقی یا عمودی، بالاگذر یا پایین‌گذر باشد، نوع خروجی معرف زیرباندهای خاصی از تصویر است.

در شکل (۱)، LL معرف تصویری است که در هر دو راستا روی آن فیلتر پایین‌گذر اعمال شده است. از این رو این تصویر دارای مؤلفه‌های فرکانس پایین است. در تصویر، این مؤلفه‌ها بیانگر جزئیات یک تصویر است. LH خروجی حاصل از اعمال فیلتر پایین‌گذر در راستای افقی و فیلتر بالاگذر در راستای عمودی است. خروجی این تصویر جزئیات در راستای افقی و کلیات در راستای عمودی را نشان می‌دهد. به این ترتیب لبه‌های افقی در تصویر LH استخراج می‌شوند. حالت مشابه برای HL وجود دارد و در آن لبه‌های عمودی استخراج می‌شوند. HH بیانگر خروجی‌ای است که در هر دو راستا، فیلتر بالاگذر روی آن اعمال شده است. از این رو این خروجی لبه‌های قطري را نشان می‌دهد و کلیات تصویر ورودی را دارا می‌باشد.

### ۲-۲. گشتاور تابع چگالی احتمال

فرض می‌شود دنباله‌ای مانند  $x=(x_1, x_2, \dots, x_N)$  نمونه‌هایی هستند که به صورت مستقل از یک تابع چگالی احتمال نامعلوم مانند

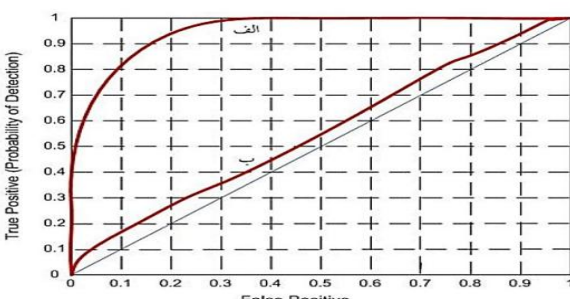
<sup>1</sup> Discrete Wavelet Transform

<sup>2</sup> Down-Sampling

همواره بر روی نمودار ROC قرار دارند و چگونگی رفتار منحنی در بین این دو نقطه مبین عملکرد الگوریتم نهان کاوی می باشد.

هر چقدر منحنی ROC بالاتر از خط  $y=x$  قرار گیرد، حمله در تشخیص درست نهانه با کمترین خطأ، عملکرد بهتر و قوی تری خواهد داشت. در مقابل، در نهان نگاری هر چقدر منحنی ROC نزدیکتر به خط  $y=x$  باشد، روش نهان نگاری امن تر است.

همان طور که در شکل (۲) مشاهده می شود روش نهان کاوی الف بهتر از روش نهان کاوی ب است چون فاصله آن از خط  $y=x$  بیشتر است.



شکل ۲. مقایسه منحنی ROC دو روش نهان کاوی الف و ب [۱۶]

## ۲-۵. خطای پیشگوی تصویر

دسته دیگری از مشخصه های آماری که به عنوان ویژگی برای تحلیل نهان نگاری استفاده می شود عبارت است از خطای پیشگوی تصویر. نهان نگاری اعوجاجی روی تصویر اصلی ایجاد می کند که به کمک خطای پیشگوی تصویر می توان این اعوجاج را یافت. در [۱۷] برای محاسبه خطای پیشگوی تصویر رابطه (۱۴) پیشنهاد شده که از تفیریق پیکسل پیشگویی شده و پیکسل اصلی به دست می آید:

$$\begin{aligned} e_h(i,j) &= x(i+1,j) - x(i,j) \\ e_v(i,j) &= x(i,j+1) - x(i,j) \\ e_d(i,j) &= x(i+1,j+1) - x(i,j) \end{aligned} \quad (14)$$

$e_h(i,j)$ ،  $e_v(i,j)$  و  $e_d(i,j)$  به ترتیب نمایانگر خطای پیشگوی (i,j) در جهت افقی، عمودی و قطری است. این ویژگی به جاسازی داده در تصویر حساس است و با استفاده از آن می توان به جاسازی داده در تصویر پی برد.

## ۳. روش پیشنهادی

روش تحلیل قالبی<sup>۲</sup> اولین بار توسط چو و همکارانش [۱۸] مطرح شد. آنها عقیده داشتند به جای این که یک تصمیم در مورد کل تصویر گرفته شود، با تقسیم تصویر به قالب های کوچکتر می توان نمونه های بیشتری را از یک تصویر در اختیار داشت و تصمیم های

هیستوگرام با  $M$  بخش  $\sum_{m=0}^{M-1} h(m)$ ، در می آید. سپس برای تابع مشخصه گسسته داریم:

$$\Phi(k) = \sum_{m=0}^{M-1} h(m) \exp\left\{\frac{j2\pi mk}{K}\right\} \quad 0 \leq k \leq K-1 \quad (10)$$

که  $K$  عبارت است از:

$$K = 2^{\lceil \log_2 M \rceil} \quad (11)$$

وانگ و مولین [۱۵]، گشتاور مرتبه  $n$  یک تابع مشخصه را به صورت زیر تعریف کردند:

$$\hat{M}_n = \sum_{k=0}^{K-1} |\Phi(k)| \sin^n\left(\frac{\pi k}{K}\right) \quad (12)$$

گشتاور مطلق مرتبه  $n$  یک تابع مشخصه را می توان به صورت زیر تعریف کرد:

$$\hat{M}_n^A = \sum_{k=0}^{K-1} |\Phi(k)| \sin^n\left(\frac{\pi k}{K}\right) \quad (13)$$

علت تعریف گشتاور مطلق به صورت رابطه (۱۳) این است که این تعریف، حد بالایی برای مشتقه های هیستوگرام تابع در اختیار قرار می دهد [۱۵]. گشتاور مرتبه  $n$  نرمالیزه به صورت  $\hat{M}_n^A / \hat{M}_0^A$  تعریف می شود؛ یعنی از تقسیم ممان مرتبه  $n$  بر ممان مرتبه صفر، ممان مرتبه  $n$  نرمالیزه به دست می آید.

## ۴-۲. منحنی ROC

برای فهم بهتر و ارزیابی همه جانبی عملکرد روش نهان کاوی، از نمودار مشخصه عملکرد گیرنده، معروف به ROC<sup>۱</sup> استفاده می شود.

چهار رخداد ممکن است روی دهد که به یکدیگر وابسته بوده و بر هم تأثیر متقابل می گذارند. این چهار رخداد عبارتند از [۱۶]:

- $T_p$ : تعداد مواردی که تصویر، نهانه بوده و نهان کاو هم آن را نهانه تشخیص داده است.

- $F_N$ : تعداد مواردی که تصویر، نهانه بوده و نهان کاو به اشتباه آن را پوشانه تشخیص داده است.

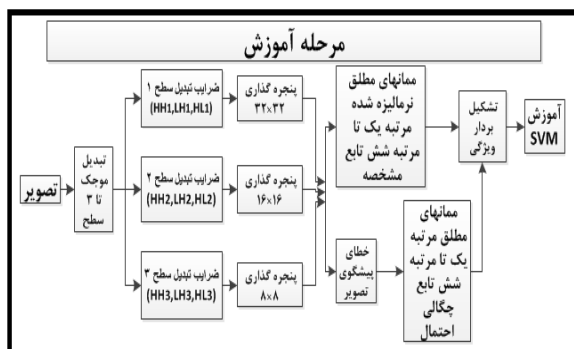
- $F_p$ : تعداد مواردی که تصویر، پوشانه بوده و نهان کاو به اشتباه آن را نهانه تشخیص داده است.

- $T_N$ : تعداد مواردی که تصویر، پوشانه بوده و نهان کاو هم آن را پوشانه تشخیص داده است.

در این منحنی مقادیر  $F_p$  یا احتمال تشخیص مثبت نادرست، در بازه [۰،۱] بر روی محور افقی و مقادیر  $T_p$  یا احتمال تشخیص مثبت درست (آشکارسازی)، در بازه [۰،۱] بر روی محور عمودی نمایش داده می شود. دو نقطه ابتدایی و انتهایی [۰،۰] و [۱،۱]

<sup>۱</sup> Receiver Operating Characteristics (ROC) Curve

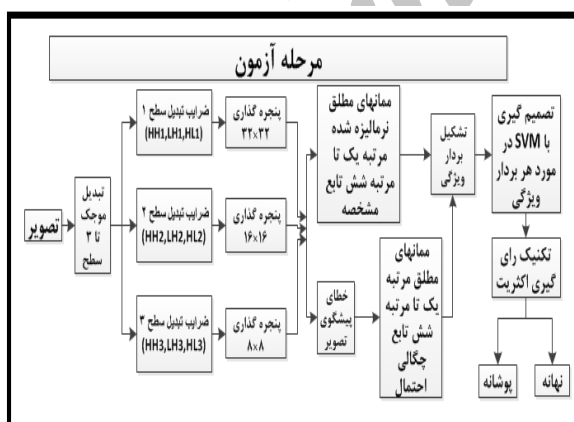
پوشانه (با توجه به این که از تصویر نهانه یا پوشانه استخراج شده باشد) تقسیم و با استفاده از این دو کلاس، یک دسته‌بندی کننده SVM [۱۹] با هسته خطی جهت تمایز بین نهانه و پوشانه آموخت داده می‌شود.



شکل ۴. مرحله آموزش روش پیشنهادی

### ۳-۲. مرحله آزمون

برای یک تصویر آزمون مطابق با شکل (۵)، دقیقاً همان مراحلی که در مرحله آموزش بیان شد، اجرا می‌شود. یعنی از هر تصویر آزمون تا ۳ سطح تبدیل موجک گرفته و روی ضرایب هر سطح پنجره‌گذاری‌های  $32 \times 32$ ,  $16 \times 16$  و  $8 \times 8$  انجام می‌شود. ممانهای مطلق نرمالیزه شده مرتبه یک تا شش تابع مشخصه و ممانهای مطلق مرتبه یک تا شش تابع چگالی احتمال خطای پیشگویی هر پنجره استخراج و بردار ویژگی‌های آن‌ها تشکیل می‌شود. آنگاه بردارهای ویژگی به SVM‌ای که در مرحله قبل، مورد آموزش قرار گرفت، داده می‌شود تا یک تصمیم در مورد نهانه یا پوشانه بودن بردارها اعلام کند.



شکل ۵. مرحله آزمون روش پیشنهادی

برای مثال اگر ابعاد تصویر برابر با  $Y \times X$  باشد، تعداد کل بردارهای ویژگی برابر با  $\frac{X}{32} \times \frac{Y}{32}$  و تعداد تصمیم‌ها برابر با  $\frac{X}{32} \times \frac{Y}{32}$  خواهد بود. پس از ساخت  $\frac{X}{32} \times \frac{Y}{32}$  تصمیم، روش رأی‌گیری اکثریت برای اعلام تصمیم نهایی در مورد نهانه یا پوشانه بودن تصویر به کار برده می‌شود. اگر تعداد بردار ویژگی‌هایی که نهانه

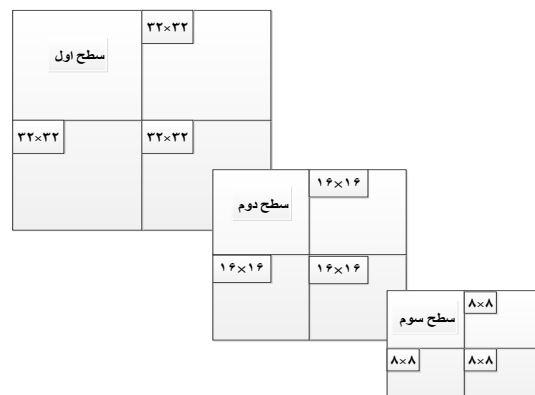
بیشتر و بهتری را روی تصویر گرفت، پس به جای افزایش تعداد ویژگی‌ها، با افزایش تعداد تصمیم‌ها می‌توان دقت کشف را افزایش داد. نهان‌کاوی قالبی دو مزیت مهم دارد، اول این که عملکرد نهان‌کاو بدون افزایش ویژگی‌ها بهتر است. دوم این که طرح قالبی می‌تواند نتایج کشف دقیق‌تری برای یک تصویر آزمون فراهم کند، چون نمونه‌های بیشتری را در اختیار دارد و هر کدام از نمونه‌ها را به صورت مجزا می‌آزماید.

حال روشنی نو و کارامد به عنوان روش پیشنهادی شرح داده می‌شود. چون با تبدیل موجک می‌توان به ضرایب فرکانس بالای تصویر در سطوح پایین‌تر دست یافت و اطلاعات مفیدی را برای نهان‌کاوی در اختیار ما قرار می‌دهد، بنابراین ابتدا از تصویر تا ۳ سطح تبدیل موجک گرفته می‌شود. همچنین قالبی کردن تصویر به شیوه‌ای ابتکاری، به صورت پنجره‌گذاری به کار برده می‌شود. این روش شامل دو فرآیند آموزش و آزمون است که هر فرآیند به صورت جداگانه شرح داده می‌شود.

### ۳-۱. مرحله آموزش

با توجه به شکل (۴)، ابتدا از تصویر تا ۳ سطح تبدیل موجک گرفته (فیلتر تبدیل موجک مورد استفاده، فیلتر هار می‌باشد) آنگاه روی ضرایب فرکانس بالای تبدیل موجک

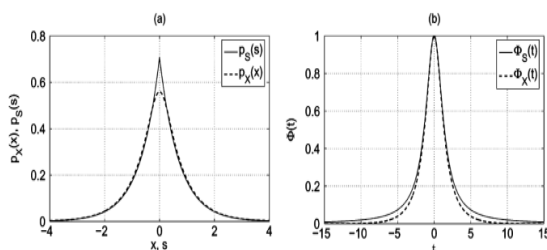
( $HH_i, HL_i, LH_i, i = 1, 2, 3$ ) هر سطح، پنجره‌گذاری انجام می‌شود. چونکه ابعاد هر سطح از تبدیل موجک یک تصویر، نصف سطح قبل است، پس ابعاد پنجره‌گذاری در سطح اول  $32 \times 32$  سطح دوم  $16 \times 16$  و سطح سوم  $8 \times 8$  انتخاب می‌شود (شکل (۳)).



شکل ۳. پنجره‌گذاری روی ضرایب تبدیل موجک

ممانهای مطلق نرمالیزه شده مرتبه یک تا شش تابع مشخصه برای پنجره‌های  $32 \times 32$ ,  $16 \times 16$  و  $8 \times 8$  ضرایب فرکانس بالای تبدیل موجک هر سطح استخراج می‌شود. همچنین خطای پیشگوی تصویر [۱۷] برای پنجره‌های  $32 \times 32$ ,  $16 \times 16$  و  $8 \times 8$  در جهت افقی، عمودی و قطری ( $E_h, E_d, E_v$ ) محاسبه و ممانهای مطلق مرتبه یک تا شش تابع چگالی احتمال آن‌ها استخراج و بردار ویژگی تشکیل می‌شود. بردارهای ویژگی به دو کلاس نهانه و

برای ضرایب موجک یک تصویر، هیستوگرام و  $(s)$   $p_{\alpha,\beta}$  تخمین زده شده معمولاً در نقطه  $s=0$  به صورت تیز و قله دار می باشد. هنگامی که  $(s)$   $p_{\alpha,\beta}$  توسط یک  $p_z(z)$  نرم <sup>۱</sup> همانند یک نویز با تابع چگالی احتمال گوسی فیلتر شود، این قله تیز نرم تر و مسطح تر می شود. به این ترتیب بیشترین تغییر بین  $(z)$   $p_z(z)$  در همسایگی صفر دیده می شود. قسمت a در شکل (۶) این موضوع را نشان می دهد. همان طور که گفته شد، ممان مطلق مرتبه  $\|a\|$  یک تابع چگالی احتمال با وزن دار کردن تابع چگالی احتمال با  $|x|^n$  حاصل می شود. یعنی، هر چه از مبدأ دورتر شوید مقدار این وزن بیشتر می شود. از آنجایی که مطابق با شکل (۶) بیشترین اختلاف  $p_x(z)$  و  $p_S(z)$  در حوالی نقطه صفر می باشد و نقطه صفر در وزن ده، وزن صفر می گیرد ( $x=0$ )، در نتیجه ممان مطلق تابع چگالی احتمال به جای تأکید کردن بر تفاوت میان دو تابع چگالی احتمال، آن را نادیده می گیرد.



شکل ۶. توابع چگالی احتمال و توابع مشخصه متناظر برای تصویر حامل. (a) توابع چگالی احتمال و (b) توابع مشخصه [۱۵].

به خاطر دارید که ممان مطلق مرتبه  $\|a\|$  تابع چگالی احتمال با مشتق مرتبه  $\|a\|$  از تابع مشخصه همان تابع چگالی احتمال حول مبدأ متناسب است. قسمت b شکل (۶)، مقدار نمودار تابع مشخصه دو تابع چگالی احتمال را نشان می دهد. ملاحظه می شود که مقدار دو تابع مشخصه در حوالی نقطه صفر برابر است.

در نقطه مقابل، ممان مطلق مرتبه  $\|a\|$  تابع مشخصه، با وزن دهی تابع مشخصه با  $|t|^n$  حاصل می شود. همان طور که در قسمت b شکل (۶) دیده می شود، بین  $(t)$   $\Phi_S(t)$  و  $\Phi_X(t)$  برای مقادیر بزرگ  $t$  اختلاف چشمگیری وجود دارد و توسط ممان مطلق مرتبه  $\|a\|$  تابع مشخصه بر روی این اختلاف ها تأکید می شود (زیرا مقادیر بزرگ  $t$  در مقادیر اختلاف ضرب می شوند و اختلاف را بیشتر می کنند). این موضوع را با گرفتن مشتق مرتبه  $\|a\|$  از تابع چگالی احتمال در نقطه صفر نیز می توان دید. همان طور که گفته شد، مشتق مرتبه  $\|a\|$  تابع چگالی احتمال حول نقطه صفر برابر با ممان مرتبه  $\|a\|$  تابع مشخصه می باشد. مقدار این مشتق برای دو تابع چگالی احتمال چشمگیر است. بنابراین می توان دید که ممان

(پوشانه) تشخیص داده شده، بیشتر از تعداد ویژگی های پوشانه (نهانه) باشد، تصویر نهانه (پوشانه) می باشد.

البته روش چو و همکارانش [۱۱ و ۱۸] برای قالب بندی تصویر پیچیده است. زیرا آنها سعی کردند با استفاده از ساختار درختی برداری <sup>۲</sup>، دسته بندی به چند کلاس و وزن دهی <sup>۳</sup> به کلاس ها دقیق کشف خود را افزایش دهند، در صورتی که روش پیشنهادی مقاله چون از تصویر تبدیل موجک می گیرد و سپس ضرایب تبدیل موجک را (اطلاعات بیشتری جهت نهان کاوی در اختیار ما قرار می دهد) با روشی ابتکاری (پنجره گذاری می کند، با ویژگی های کمتر، سطح تبدیل موجک) پنجره گذاری می کند، با ویژگی های کمتر، دقیق کشف بالاتری دارد.

### ۳-۳. انتخاب ویژگی ها

تأثیر نهان نگاری بر روی یک تصویر حامل فاقد پیام می تواند به صورت یک نویز افروزنده در نظر گرفته شود. هنگامی که این نویز افزوده می شود، برخی از خصیصه های آماری تصویر ممکن است تغییر کند. برای تحلیل و انتخاب ویژگی های مورد استفاده این تأثیر به صورت زیر مدل می شود:

ضرایب موجک یک تصویر در باندهای بالاگذر (که از آنها به عنوان ورودی تحلیل استفاده می شود) را می توان با توزیع تعمیم یافته گوسی <sup>۴</sup> مدل کرد [۱۷].

$$p_{\alpha,\beta}(s) \equiv \frac{\beta}{2\alpha\Gamma\left(\frac{1}{\beta}\right)} \exp\left\{-\left(\frac{|s|}{\alpha}\right)^2\right\}, \quad (15)$$

$\alpha > 0, \beta > 0, s \in \mathbb{R}$

که در آن  $\Gamma(\cdot)$  تابع گاما،  $\alpha$  پارامتر مقیاس و  $\beta$  پارامتر قالب می باشد.

توزیع های گووسی و لاپلاسین صورت خاصی از توزیع تعمیم یافته می باشند که در آنها به ترتیب  $\beta$  برابر با ۲ و ۱ است.

نویز جمع پذیری که حاوی اطلاعات محرمانه است به صورت ترکیبی از نویز ضربه (با احتمال  $\gamma$ ) و نویز گوسی  $N(0, \sigma^2)$  (با احتمال  $1-\gamma$ ) مدل می شود، یعنی:

$$Z_\gamma \sim (1-\gamma)\delta(0) + \gamma N(0, \sigma^2) \quad \gamma \in [0, 1] \quad (16)$$

به طور خلاصه می توان مدل جاسازی اطلاعات در حوزه فرکانس (موجک) را به صورت زیر بیان کرد:

$$\begin{cases} X = S + Z \\ S \sim p_{\alpha,\beta}(s) \quad \alpha > 0, \beta > 0 \\ Z_\gamma \sim (1-\gamma)\delta(0) + \gamma N(0, \sigma^2) \quad \gamma \in [0, 1] \end{cases} \quad (17)$$

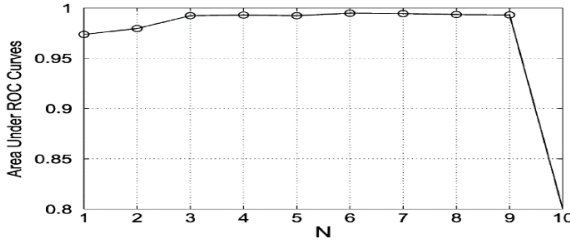
<sup>1</sup> Tree-Structured Vector Quantization

<sup>2</sup> Weight

<sup>3</sup> Generalized Gaussian Distribution(GGD)

<sup>4</sup> Shape

مناسب نمی‌باشد. از آنجایی که بعد از  $n=6$  مساحت زیر منحنی رو به کاهش است، بنابراین تنها ممان‌های مرتبه ۱ تا ۶ به عنوان ویژگی‌ها انتخاب می‌شوند.



شکل ۷. مساحت زیر منحنی ROC برای ممان‌های مرتبه مختلف. (داده‌های مورد استفاده عبارتند از ۷۰۰ تصویر نهانه با ۷۰۰ تصویر پوشانه [۱۵])

#### ۴. نتایج و بحث

۵۰۰۰ تصویر از مجموعه تصاویر BossBase\_1.01 [۲۰] دانلود شد که اندازه آن‌ها  $512 \times 512$  می‌باشد. در این مقاله ۴ روش نهان‌نگاری PQ [۲۱]، Outguess [۲۲]، F5 [۲۳] و Jsteg [۲۴] با ظرفیت‌های  $0/0.5$ ،  $0/1$ ،  $0/2$  و  $0/4$  برای ارزیابی عملکرد روش پیشنهادی، مورد استفاده قرار گرفت؛ ۴۰۰ تصویر پوشانه و از هر مجموعه تصاویر نهانه با ظرفیت‌های مختلف، ۵۰ تصویر (در مجموع ۷۵۰ تصویر) انتخاب می‌شود. از هر تصویر تا ۳ سطح تبدیل موجک گرفته می‌شود.

مطابق شکل (۳) پنجره‌گذاری  $32 \times 32$  روی ضرایب فرکانس بالای سطح اول، پنجره‌گذاری  $16 \times 16$  روی ضرایب فرکانس بالای سطح دوم و پنجره‌گذاری  $8 \times 8$  روی ضرایب فرکانس بالای سطح سوم انجام می‌شود. ممان‌های مطلق نرمالیزه شده مرتبه یک تا شش تابع مشخصه برای پنجره‌های  $32 \times 32$ ،  $16 \times 16$  و  $8 \times 8$  و ممان‌های مطلق مرتبه یک تا شش تابع چگالی احتمال برای خطای پیشگوی هر پنجره استخراج می‌شود. تعداد ویژگی‌های مورد استفاده برای تشکیل هر بردار در مجموع ۳۶ ویژگی می‌باشد (مطابق با جدول (۱)). ۳۰۰ تصویر نهانه و پوشانه انتخاب و ویژگی‌های هر تصویر استخراج و بردارهای ویژگی حاصله از هر تصویر به صورت مجزا از تصاویر دیگر به SVM داده شده و SVM یک تصمیم در مورد نهانه یا پوشانه بودن بردارها اتخاذ می‌کند. پس به ازای هر تصویر  $\frac{512}{32} \times \frac{512}{32}$  تصمیم دارید. حال روش رأی‌گیری اکثریت روی این تصمیم‌ها به کار برده شده تا تصمیم نهایی در مورد نهانه یا پوشانه بودن تصویر اعلام شود. اگر تعداد تصمیم‌های نهانه بیشتر از تصمیم‌های پوشانه بود، تصویر نهانه و در غیر این صورت پوشانه می‌باشد. برای مقایسه عملکرد روش نهان‌کاوی پیشنهادی، سه روش نهان‌کاوی عمرانی، موسوی و لیو [۲۵] شبیه‌سازی شد و مورد آزمایش قرار گرفت که نتایج دقت کشف (نهان‌کاوی) در جدول (۲) قابل

مطلق مرتبه  $n=6$  تابع مشخصه از ممان مطلق مرتبه  $n=6$  تابع چگالی احتمال نسبت به جاسازی اطلاعات در تصویر حساس است. به همین دلیل از ممان مطلق مرتبه  $n=6$  تابع مشخصه ضرایب تبدیل موجک به عنوان ویژگی استفاده می‌شود.

از آنجایی که تابع چگالی احتمال خطای پیشگوی تصویر از مدل خاصی پیروی نمی‌کند و خاصیت تیز بودن در مبدأ را نیز ندارد، نمی‌توان از تحلیلهای بالا استفاده کرد. در [۱۵]، برای مقایسه ممان مطلق تابع مشخصه و ممان مطلق تابع چگالی احتمال بر روی خطای پیشگوی تصویر از بررسی‌های عملی استفاده شده است. برای ارزیابی ویژگی‌ها از فاصله باتاچاریا استفاده شده است. طبق این بررسی‌ها، برای خطای پیشگوی تصویر، ممان مطلق تابع چگالی احتمال نتیجه بهتری را به همراه خواهد داشت. همچنین ممان مطلق نرمالیزه شده تابع مشخصه از ممان مطلق معمولی تابع مشخصه نتایج بهتری را به همراه دارد. پس ویژگی‌های مورد استفاده به طور کلی به صورت زیر خواهد بود:

- ✓ برای ضرایب فرکانس بالای تبدیل موجک از ممان‌های مطلق نرمالیزه شده تابع مشخصه استفاده می‌شود.
- ✓ برای خطای پیشگوی تصویر از ممان‌های مطلق تابع چگالی احتمال استفاده می‌شود.

#### ۴-۳. مرتبه ممان‌ها

با ملاحظه روابط مربوط به ممان‌ها، می‌توان فهمید که با افزایش  $n$  می‌توان ممان‌های مرتبه بالاتری را به دست آورد. از این رو انتخاب این که ممان‌ها تا کدام مرتبه به عنوان ویژگی انتخاب شوند موضوعی حائز اهمیت است. وانگ و مولین [۱۵]، آزمایشی را برای ۷۰۰ تصویر نهانه و ۷۰۰ تصویر پوشانه انجام داده‌اند تا مشخص کنند که ممان‌های هر مرتبه در دسته‌بندی، چه میزانی از ناحیه زیر منحنی ROC را تولید می‌کنند. حتی پیش از بررسی نتایج این آزمایش نیز می‌توان بی برد که استفاده از ممان‌های زیاد نمی‌تواند باعث افزایش کارایی دسته‌بندی شود. زیرا این امر موجب افزایش ابعاد بردار ویژگی می‌شود که این موضوع نیز نفرین ابعاد را به همراه خواهد داشت (یعنی نتیجه عکس شود). شکل (۷) نتیجه مقایسه مساحت زیر منحنی ROC را برای ممان‌های مرتبه اول تا دهم نشان می‌دهد.

همان‌طور که در شکل (۷) مشاهده می‌شود، مساحت زیر منحنی ROC به ازای مقادیر  $n=1$  تا ۶ در حال افزایش است و در  $n=6$  بیشترین مقدار را دارد و بعد از آن منحنی کاهش می‌یابد. از مرتبه دهم به بعد، مساحت زیر منحنی ROC به شکل چشمگیری کاهش می‌یابد از این رو استفاده از ممان‌های با مرتبه بالاتر از ۱۰

جدول ۳. اثر ابعاد پنجره گذاری بر روی دقت کشف نهان کاوی Jsteg

ابعاد پنجره گذاری			Jsteg		
۳ سطح	۲ سطح	۱ سطح	.۰/۱	.۰/۲	.۰/۴
۳۲×۳۲	۶۴×۶۴	۱۲۸×۱۲۸	۹۱	۹۳/۷	۹۶/۶
۱۶×۱۶	۳۲×۳۲	۶۴×۶۴	۹۵/۸	۹۹/۶	۱۰۰
۸×۸	۱۶×۱۶	۳۲×۳۲	۹۸	۹۹/۹	۱۰۰

جدول ۴. اثر ابعاد پنجره گذاری بر روی دقت کشف نهان کاوی F5

ابعاد پنجره گذاری			F5			
۳ سطح	۲ سطح	۱ سطح	.۰/۰۵	.۰/۱	.۰/۲	.۰/۴
۳۲×۳۲	۶۴×۶۴	۱۲۸×۱۲۸	۶۴/۸	۸۰	۹۳	۹۴/۹
۱۶×۱۶	۳۲×۳۲	۶۴×۶۴	۶۸	۸۴/۷	۹۹/۹	۱۰۰
۸×۸	۱۶×۱۶	۳۲×۳۲	۷۱/۹	۸۷/۸	۱۰۰	۱۰۰

جدول ۵. اثر ابعاد پنجره گذاری بر روی دقت کشف نهان کاوی Outguess

ابعاد پنجره گذاری			Outguess			
۳ سطح	۲ سطح	۱ سطح	.۰/۰۵	.۰/۱	.۰/۲	.۰/۴
۳۲×۳۲	۶۴×۶۴	۱۲۸×۱۲۸	۸۷/۸	۸۹	۹۲	۹۶/۷
۱۶×۱۶	۳۲×۳۲	۶۴×۶۴	۹۲/۶	۹۶	۹۹/۶	۱۰۰
۸×۸	۱۶×۱۶	۳۲×۳۲	۹۷/۷	۹۹/۵	۱۰۰	۱۰۰

جدول ۶. اثر ابعاد پنجره گذاری بر روی دقت کشف نهان کاوی PQ

ابعاد پنجره گذاری			PQ			
۳ سطح	۲ سطح	۱ سطح	.۰/۰۵	.۰/۱	.۰/۲	.۰/۴
۳۲×۳۲	۶۴×۶۴	۱۲۸×۱۲۸	۸۵/۷	۸۸	۹۲	۹۵/۷
۱۶×۱۶	۳۲×۳۲	۶۴×۶۴	۹۲/۷	۹۶	۱۰۰	۱۰۰
۸×۸	۱۶×۱۶	۳۲×۳۲	۹۳/۶	۹۷/۸	۱۰۰	۱۰۰

همان طور که مشاهده می شود، یک تبادل بین دقت کشف و ابعاد پنجره گذاری وجود دارد، یعنی هر چقدر ابعاد پنجره گذاری ها بزرگتر شود، دقت کشف کاهش پیدا می کند.

برای فهم بهتر عملکرد حملات نهان کاوی، از نمودار مشخصه عملکرد گیرنده، معروف به ROC استفاده می شود. بنابراین نمودار منحنی ROC روش پیشنهادی به ترتیب در شکل های (۸-۱۱) ارائه شده است.

با مشاهده این شکل ها مشخص می شود که منحنی ROC مربوط به نهان کاوی ما بیشترین فاصله را از خط  $y=x$  دارد. پس می توان نتیجه گرفت، روش نهان کاوی پیشنهادی، دارای دقت بالایی جهت تمایز نهانه از پوشانه می باشد.

مشاهده است. مشاهدات جدول گویای آن است که دقت کشف روش پیشنهادی در همه موارد بیشتر از دقت سایر روش ها می باشد. آزمایشی دیگر جهت بررسی اثر ابعاد پنجره گذاری ها روی روش پیشنهادی انجام شد که نتایج آن در جدول های (۳-۶) ارائه شده است.

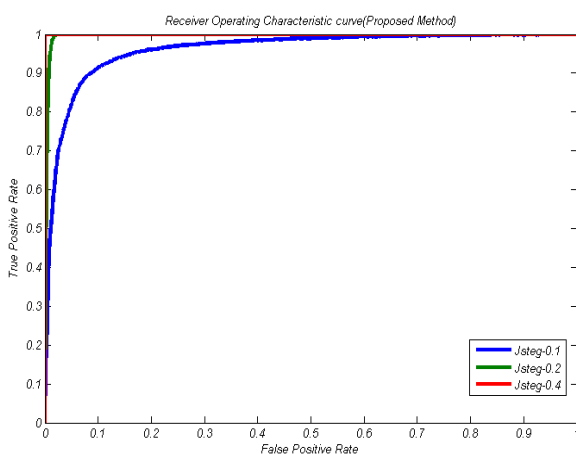
جدول ۱. تعداد کل ویژگی های مورد استفاده

ویژگی ها	تعداد
مان های مطلق نرمالیزه شده مرتبه یک تا شش تابع مشخصه برای پنجره ۳۲×۳۲	۶
مان های مطلق نرمالیزه شده مرتبه یک تا شش تابع مشخصه برای پنجره ۱۶×۱۶	۶
مان های مطلق نرمالیزه شده مرتبه یک تا شش تابع مشخصه برای پنجره ۸×۸	۶
مان های مطلق مرتبه یک تا شش تابع چگالی احتمال برای خطای پیشگوی پنجره ۳۲×۳۲ در جهت افقی، عمودی و قطری ( $E_h, E_d, E_v$ )	۶
مان های مطلق مرتبه یک تا شش تابع چگالی احتمال برای خطای پیشگوی پنجره ۱۶×۱۶ در جهت افقی، عمودی و قطری ( $E_h, E_d, E_v$ )	۶
مان های مطلق مرتبه یک تا شش تابع چگالی احتمال برای خطای پیشگوی پنجره ۸×۸ در جهت افقی، عمودی و قطری ( $E_h, E_d, E_v$ )	۶
مجموع	۳۶

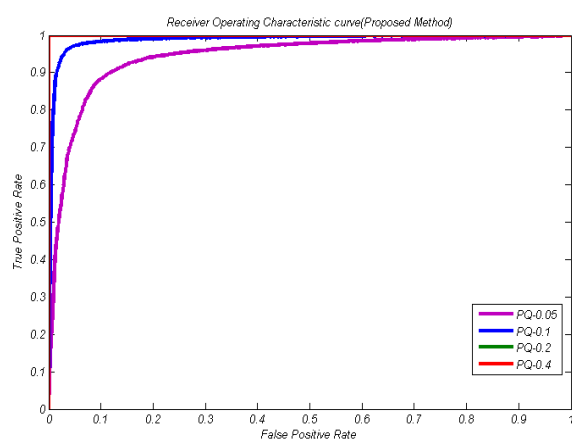
جدول ۲. مقایسه دقت کشف روش پیشنهادی، لیو، موسوی و عمرانی

Proposed Method	Omrami	Mousavi	Liu	bpc <sup>۱</sup>	Steganography Methods
۹۸/۶	۹۶/۶	۹۷/۸	۹۷	پوشانه	Outguess
۹۲/۶	۸۳/۶	۹۲/۹	۷۱/۶	.۰/۰۵	
۹۶	۹۵	۹۳/۵	۹۷/۹	.۰/۱	
۹۹/۶۹	۹۸	۹۶/۶	۹۸/۷	.۰/۲	
۱۰۰	۹۸/۶	۹۹	۱۰۰	.۰/۴	
۹۴	۸۰	۸۷/۸۵	۸۳	پوشانه	F5
۶۸	۵۰/۶	۶۸/۸	۶۱/۶	.۰/۰۵	
۸۴/۷	۷۹/۹	۸۵	۸۲	.۰/۱	
۹۹/۹	۹۶/۸	۱۰۰	۹۷/۹	.۰/۲	
۱۰۰	۹۹/۵	۱۰۰	۹۹/۶	.۰/۴	
۱۰۰	۹۸	۱۰۰	۱۰۰	پوشانه	Jsteg
۹۵/۸	۹۲	۹۴/۹	۹۵	.۰/۱	
۹۹/۶	۹۸/۶	۱۰۰	۹۹	.۰/۲	
۱۰۰	۹۹/۸	۱۰۰	۱۰۰	.۰/۴	
۱۰۰	۱۰۰	۱۰۰	۹۹/۹	پوشانه	
۹۲/۷	۹۰/۶	۹۱	۸۸/۸	.۰/۰۵	PQ
۹۶	۹۴	۹۵/۶	۹۴	.۰/۱	
۱۰۰	۹۶/۵	۹۸/۷	۹۹/۷	.۰/۲	
۱۰۰	۹۸	۹۹/۹	۱۰۰	.۰/۴	

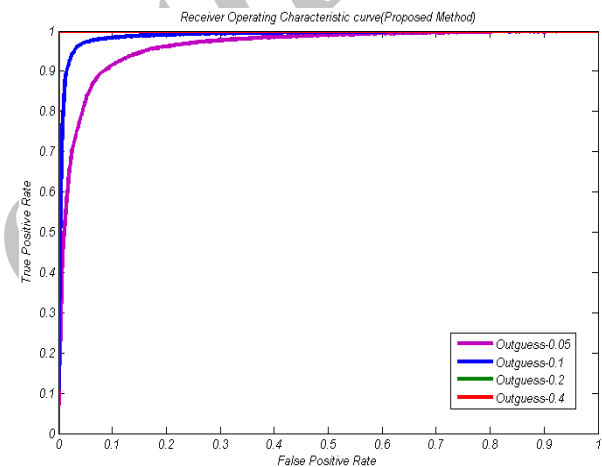
<sup>۱</sup> Bits Per Non-zero DCT AC Coefficients



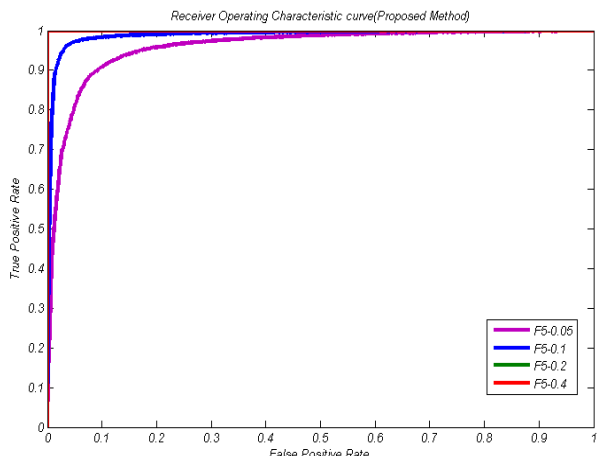
شکل ۱۱. منحنی ROC روش نهان کاوی پیشنهادی، به دست آمده از نهان کاوی Jsteg با ظرفیت‌های (۰/۰۵، ۰/۱، ۰/۲، ۰/۴)



شکل ۸. منحنی ROC روش نهان کاوی پیشنهادی، به دست آمده از نهان کاوی PQ با ظرفیت‌های (۰/۰۵، ۰/۱، ۰/۲، ۰/۴)



شکل ۹. منحنی ROC روش نهان کاوی پیشنهادی، به دست آمده از نهان کاوی Outguess با ظرفیت‌های (۰/۰۵، ۰/۱، ۰/۲، ۰/۴)



شکل ۱۰. منحنی ROC روش نهان کاوی پیشنهادی، به دست آمده از نهان کاوی F5 با ظرفیت‌های (۰/۰۵، ۰/۱، ۰/۲، ۰/۴)

## ۵. نتیجه‌گیری

در مقایسه با روش‌های نهان کاوی موجود که در کشف نهانه با ظرفیت جاسازی پایین از دقت کشف بالایی برخوردار نیستند، روش نهان کاوی پیشنهادی، با استفاده از تبدیل موجک، روش پنجره‌گذاری روی ضرایب تبدیل موجک و انتخاب ویژگی‌های مناسب در کشف پیام در نهانه به ویژه در ظرفیت جاسازی پایین از دقت بالاتری برخوردار است (مطابق با نتایج آزمایش‌ها). روش نهان کاوی پیشنهادی، نهان نگاری با ظرفیت ۰/۰۵ را با دقت ۶۸ تا ۹۲/۷ درصد و نهان نگاری با ظرفیت ۰/۱ را با دقت ۸۴/۷ تا ۹۶ درصد، نهان نگاری با ظرفیت ۰/۲ را با دقت ۹۹/۶ تا ۱۰۰ درصد و نهان نگاری با ظرفیت ۰/۴ را با دقت ۱۰۰ درصد درست کشف (نهان کاوی) می‌کند. برای کار و تحقیقات آینده می‌توان بر روی کاهش پیچیدگی محاسباتی این روش، اثر همپوشانی پنجره‌گذاری‌ها و پردازش موزایی و استفاده از دسته‌بندی کننده‌های سریع‌تر جهت کاهش زمان آموزش و آزمون کار کرد.

## ۶. مراجع

- [1] Westfeld, A.; Pfitzmann, A. "Attacks on Steganographic Systems-breaking the Steganographic Utilities Ezstego, Jsteg, Steganos, and S-tools and Some Lessons Learned"; Proc. of the 3<sup>rd</sup> Information Hiding Workshop, 1999, 61-76.
- [2] Fridrich, J.; Goljan, M.; Du, R. "Reliable Detection of Lsb Steganography in Color and Grayscale Images"; Proc. of ACM Workshop on Multimedia and Security, 2001, 27-30.
- [3] Holotyak, T.; Fridrich, J.; Voloshynovskiy, S. "Blind Statistical Steganalysis of Additive Steganography using Wavelet Higher Order Statistics"; Int. Federation for Information Processing, 2005, 273-247.
- [4] Luo, X. Y.; Liu, F.; Chen, J.; Zhang, Y. "Image Universal Steganalysis Based on Wavelet Packet Transform"; IEEE 10<sup>th</sup> Workshop Multimedia Signal Processing, 2008, 780 – 784.

- [14] Goljan, M.; Fridrich, J.; Holotyak, T. "New Blind Steganalysis and its Implications"; Proc. of the Steganography and Watermarking of Multimedia Contents, VI, 2006, 1–13.
- [15] Wang, Y.; Moulin, P. "Optimized Feature Extraction for Learning-based Image Steganalysis"; IEEE Trans. Information Forensics and Security 2007, 2, 31–45.
- [16] Khosravi, S. R. "Steganalysis using Statistical Properties of Digital Signal"; M.Sc. Thesis, Sharif University, 2009 (In Persian).
- [17] Zou, D.; Su, W.; Shi, Y. Q.; Xuan, G. "Steganalysis Based on Markov Model of Threshold Prediction Error Image"; IEEE Int. Conf. Multimedia and Expo. 2006, 1365–1368.
- [18] Cho, S.; Cha, B.; Wang, J.; Jay Kuo, C-C. "Block-Based Image Steganalysis: Algorithm and Performance Evaluation"; Proc. of the Int. Symposium on Circuits and Syst. 2010, 1679 –1682.
- [19] Chang, C. C.; Lin, C. J. "LIBSVM, a Library for Support Vector Machines"; <http://www.csie.ntu.edu.tw/cjlin/libsvm>, 2001.
- [20] "Boss"; <http://www.agents.cz/boss/BOSSFinal>.
- [21] Fridrich, J.; Goljan, M.; Soukal, D. "Perturbed Quantization Steganography"; IEEE Trans. Signal Processing, 2005, 53, 3923–3935.
- [22] Westfeld, A. "F5-A Steganographic Algorithm"; Lecture Notes in Computer Science, 2001, 2137, 289–302.
- [23] Provos, N. "Outguess\_practical Steganography"; Proc of the Computer Security Seminar Series, 1999.
- [24] Upaham, D. "Jsteg"; <http://ftp.funet.fi/pub/crypt/steganography>, 1995.
- [25] Liu, Q. "Steganalysis of DCT-Embedding Based Adaptive Steganography and YASS"; Proc. of the 13<sup>th</sup> ACM Multimedia and Security Workshop, 2011, 77–86.
- [5] Yang, X.; Lei, Y.; Pan, X.; Liu, J. "Universal Image Steganalysis Based on Wavelet Packet Decomposition and Empirical Transaction Matrix in Wavelet Domain"; Computer Science-Technology and Applications 2009, 2, 179 – 182.
- [6] Liu, C.; Ouyang, C.; Guo, M.; Chen, H. "Image Steganalysis Based on Spatial Domain and DWT Domain Features"; Proc. of the Second Int. Conf. on Networks Security, Wireless Communication and Trusted Computing, 2010, 329 – 331.
- [7] Sun, Z.; and Li, H.; and Wu, Z.; Zhou, Zh. "An Image Steganalysis Method Based on Characteristic Function Moment of Wavelet Subbands"; Proc. of the Int. Conf. on Artificial Intelligence and Computational Intelligence, 2009, 1, 291–295.
- [8] Chen, C.; Shi, Y. "JPEG Image Steganalysis Utilizing both Intrablock and Interblock Correlations"; IEEE Int. Symposium on Circuits and Syst. 2008, 3029–3032.
- [9] Kodovsky, J.; Fridrich, J. "Calibration Revisited"; Proc. of the ACM Multimedia and Security Workshop, 2009.
- [10] Pevny, T.; Bas, P.; Fridrich, J. "Steganalysis by Subtractive Pixel Adjacency Matrix"; IEEE Trans. Information Forensics and Security 2010, 5, 215–224.
- [11] Cho, S.; Cha, B.; Gawecki, M.; Jay Kuo, C-C. "Block-based Image Steganalysis: Algorithm and Performance Evaluation"; J. Vis. Com. 2013, 24, 846–856.
- [12] Omrani, S. L.; Bayat, P. "A New Approach for Block based Steganalysis using a Multi-Classifier"; Int. J. on Technical and Physical Problems of Eng. 2014, 6, 66–71.
- [13] Mousavi, S. S.; Mirghadri, A. R.; Kazemi, M. "Blind JPEG Images using Statistical Properties of Wavelet Coefficients"; Int. Conf. on Applied Research in Information Technology, Computer and Telecommunication, 2015 (In Persian).